

Induction of Anti-inflammatory Functions in Peripheral Blood Monocytes by Dopamine in Vitro

Hanieh Nikkhah ¹ , Seyyed Meysam Abtahi Froushani ^{1*} , Habbib Dastmalchi Saei ¹ , Nahideh Afzale Ahangaran ¹ 

¹ Dept of Microbiology, Faculty of Veterinary Medicine, Urmia University, Urmia, Iran

Article Info

Article type:
Research article

Article History:
Received: Oct. 15, 2022
Revised: July. 28, 2023
Accepted: Jan. 01, 2024
Published Online: Jun. 12, 2024

*** Correspondence to:**
Seyyed Meysam Abtahi
Froushani
Dept of Microbiology, Faculty
of Veterinary Medicine,
Urmia University, Urmia, Iran
Email:
sm.abtahi@urmia.ac.ir

A B S T R A C T

Introduction: Nowadays, some aspects of neuroendocrine and immune systems intercalation are already known. Accordingly, it has been shown that certain immune cells, such as monocytes, can produce and store dopamine in their secretory vesicles. This study was conducted to investigate the effects of dopamine on some immunological functions of the rat peripheral blood monocytes.

Material & Methods: In this experimental study, peripheral blood mononuclear cells of rats were isolated by a ficoll-hypaque gradient. Afterward, the plastic adherent fractions were used as monocytes. Monocytes in the treatment group cocultured for 24 h with 5×10^{-7} M dopamine, and then their phagocytosis performance, respiratory burst, killing ability, nitric oxide production, neutral red harvest, vital ability, and NF- κ B gene expression were investigated.

Results: The results of this study showed that both control or treatment monocytes showed no significant difference in phagocytosis after the challenge with opsonized yeast. Nevertheless, the neutral red uptake, respiratory burst, and nitric oxide production after the challenge with opsonized yeast, and also the expression of NF- κ B, were decreased in dopamine-treated monocytes compared to monocytes in the control group ($P < 0.05$). The monocyte vitality of the treatment group did not show any significant effects compared to the monocytes of the control group.

Discussion & Conclusion: It seems that dopamine dynamically creates an anti-inflammatory phenotype in the monocyte. Therefore, alongside a decrease in the lysosomal compartment activity, the monocytes produce lower levels of free oxygen and nitrogen radicals.

Keywords: Dopamine, Monocytes, Rat

➤ How to cite this paper

Nikkhah H, Abtahi Froushani SM, Dastmalchi Saei H, Afzale Ahangaran N . Induction of Anti-inflammatory Functions in Peripheral Blood Monocytes by Dopamine in Vitro. Journal of Ilam University of Medical Sciences. 2024;32(2): 17-31.



© The Author(s)

Publisher: Ilam University of Medical Sciences

القای عملکردهای ضدالتهابی در مونوستیت‌های خون محیطی رت توسط دوپامین در شرایط آزمایشگاهی



هانیه نیک خواه^۱، سید میثم ابطحی فروشانی^{۱*}، حبیب دستمالچی ساعی^۱، ناهیده افضل آهنگران^۱

^۱ گروه میکروبیولوژی، دانشکده دامپزشکی، دانشگاه ارومیه، ارومیه، ایران

اطلاعات مقاله چکیده

نوع مقاله: پژوهشی

تاریخ دریافت: ۱۴۰۱/۰۷/۲۳

تاریخ ویرایش: ۱۴۰۲/۰۵/۰۶

تاریخ پذیرش: ۱۴۰۲/۱۰/۱۱

تاریخ انتشار: ۱۴۰۳/۰۳/۲۳

مقدمه: امروزه تا حدودی برخی از جنبه‌های ارتباط متقابل دستگاه نوروآندوکراین و دستگاه ایمنی شناخته شده است. بر اساس این، نشان داده شده است که برخی از سلول‌های ایمنی از قبیل مونوستیت‌ها قادر به تولید و ذخیره‌سازی دوپامین در وزیکول‌های ترشحی خود هستند. هدف از مطالعه حاضر بررسی تأثیر دوپامین بر عملکردهای ایمونولوژیک مونوستیت‌های خون محیطی رت است.

مواد و روش‌ها: در این مطالعه تجربی، سلول‌های تک‌هسته‌ای خون محیطی به کمک گرادیان فایکول-هایپک از خون محیطی رت‌ها جدا شدند؛ سپس از بخش چسبنده این سلول‌ها به کف فلاسک به عنوان سلول‌های مونوستی استفاده گردید. سلول‌های مونوستی در گروه تیمار به مدت ۲۴ ساعت با دوپامین در غلظت 5×10^{-7} مولار مجاور شدند و آنگاه عملکرد فاگوسیتوز، انفجار تنفسی، قابلیت کشتار، تولید نیتریکاکساید، برداشت نوتراال رد، قابلیت حیاتی و میزان بیان $\text{TNF-}\alpha$ آن‌ها بررسی گردید.

یافته‌های پژوهش: نتایج این مطالعه نشان داد که مونوستیت‌های کنترل و تیمار هیچ تفاوت معنی‌داری در فاگوسیتوز پس از چالش با مخمر اپسونیزه ندارند. با وجود این، میزان برداشت نوتراال رد، شدت انفجار تنفسی و تولید نیتریکاکساید پس از چالش با مخمر اپسونیزه و همچنین میزان بیان $\text{TNF-}\alpha$ در مونوستیت‌های تیمار شده با دوپامین، نسبت به گروه شاهد، به طور معنی‌داری کاهش یافت ($P < 0.05$). البته فعالیت زیستی مونوستیت‌های گروه تیمار نسبت به مونوستیت‌های گروه شاهد، تغییر معنی‌داری پیدا نکرد.

بحث و نتیجه‌گیری: در کل به نظر رسید که دوپامین به طور پویا موجب ایجاد یک فتویپ ضدالتهابی در سلول‌های مونوستی می‌شود، به طوری که این مونوستیت‌ها در کنار کاهش فعالیت بخش لیزوژومی، میزان کمتری از رادیکال‌های آزاد اکسیژن و نیتروژن را تولید می‌کنند.

واژه‌های کلیدی: دوپامین، مونوستی، رت

نویسنده مسئول:

سید میثم ابطحی فروشانی

گروه میکروبیولوژی، دانشکده

دامپزشکی، دانشگاه ارومیه،

ارومیه، ایران

Email:

sm.abtahi@urmia.ac.ir

استناد: نیک خواه هانیه، ابطحی فروشانی سیدمیثم، دستمالچی ساعی حبیب، افشا آهنگران ناهیده. القای عملکردهای ضدالتهابی در مونوستیت‌های خون

محیطی رت توسط دوپامین در شرایط آزمایشگاهی. مجله دانشگاه علوم پزشکی ایلام، خرداد ۱۴۰۳؛ ۲(۲۲)؛ ۳۱-۱۷.



پیش‌سازهای مونوپسیت‌ها هستند که از رده میلوبئیدی مغز استخوان منشأ می‌گیرند و در جریان خون تبدیل به مونوپسیت می‌شوند (۸). این سلول‌ها در خون، مغز استخوان و طحال حضور دارند و قابلیت تکثیر ندارند. در پاسخ‌های التهابی بدن به واسطه داشتن گیرنده‌های کموکاینی و مولکول‌های چسبنده، با مهاجرت از خون به مکان‌های ملتهب، به ماکروفائز و سلول‌های دندریتیک التهابی تبدیل می‌شوند که از مقدم‌ترین سلول‌ها در برخورد با عوامل بیگانه هستند (۸، ۹). مونوپسیت‌ها حداقل ۱۰ درصد از سلول‌های تک‌هسته‌ای خون محیطی را تشکیل می‌دهند و علاوه بر تمایز به سلول‌های ماکروفائز و دندریتیک، عملکرد پاک‌سازی و برداشت مولکول‌های توکسین و بیگانه، به عنوان سلول یاری‌دهنده لنفوپسیت‌های B و T عمل می‌کنند. خون محیطی به عنوان منبع اصلی این سلول‌ها به منظور مطالعه روی خصوصیات بیولوژیکی و ایمنی‌شناختی مونوپسیت‌ها است (۹).

با وجود اینکه حضور گیرنده‌های پاسخ‌گو به دوپامین در سطح مونوپسیت‌ها نشان داده شده است، عمدۀ تحقیقات موجود درباره آثار دوپامین محدود به تأثیرات آن بر ایمونوفوتیپ و قابلیت‌های مهاجرتی مونوپسیت‌ها بوده؛ اما تاکنون تحقیق چندانی درباره نقش دوپامین در شکل‌دهی به اعمال اصلی مونوپسیت‌ها صورت نگرفته است؛ بنابراین، در این پژوهش بر آن شدیم که به بررسی تأثیر دوپامین بر عملکردهای فاگوسیتوز، انفجار تنفسی، قابلیت کشtar، تولید نیتریک‌اسید، برداشت نوترال رد، قابلیت حیاتی و میزان بیان ژن NF- κ B مونوپسیت‌های خون محیطی رت پردازیم. هدف از این تحقیق ارزیابی آثار دوپامین بر میزان فاگوسیتوز، انفجار تنفسی، قابلیت کشtar، تولید نیتریک‌اسید، برداشت نوترال رد، قابلیت حیاتی در مونوپسیت‌های خون محیطی پس از چالش با مخمر اپسونیزه و ارزیابی آثار دوپامین بر میزان بیان ژن NF- κ B است.

مواد و روش‌ها

جامعه پژوهش و گروه‌ها: به منظور مطالعه اثر دوپامین بر عملکرد مونوپسیت‌های خون محیطی، دستکم از ۱۰ رأس رت نژاد ویستار شش الی هشت هفتۀ استفاده شد. پس از

شواهد در حال ظهر نشان داده‌اند که دستگاه عصبی ارتباط نزدیکی با دستگاه ایمنی دارد و محیطی که توسط واسطه‌های عصبی ارائه می‌شود، نقش مهمی در پلاریزه شدن پاسخ‌های ایمنی ایفا می‌کند (۱). دوپامین یک ماده شیمیایی آلی از خانواده کاتکول‌آمین و فنتیل‌آمین‌ها است که چندین نقش مهم را در مغز و بدن بر عهده دارد؛ در مغز به عنوان یک نوروترانسمیتر عمل می‌کند، در حالی که خارج از دستگاه اعصاب مرکزی، عملکرد دوپامین در چندین بخش از دستگاه اعصاب محیطی به عنوان یک واسطه شیمیایی در عروق خونی است (۲). سیستم دوپامینزیک عملکردهای حرکتی دستگاه عصبی را تنظیم می‌کند؛ مانند کنترل رفتارهای حرکتی مرتبط با پاداش و همچنین شناخت محیط (۴). تغییرات در سیگال‌های دوپامینزیک نقش عمده‌ای در پاتوژنی بیماری پارکینسون و بیماری التهابی روده ایفا می‌نماید. هردوی این بیماری‌ها با شرایط التهابی و اختلالات ایمنی مرتبط هستند (۵). علاوه بر دستگاه عصبی، اطلاعات فراوانی در دسترس است که نشان می‌دهد توانایی تولید، ذخیره و آزادسازی دوپامین به دستگاه عصبی محدود نمی‌شود و سلول‌های ایمنی نیز چنین قابلیت‌هایی را دارند. توانایی تولید دوپامین در سلول‌های ایمنی، به ویژه سلول‌های دندریتیک و لنفوپسیت‌های T به خوبی ثبت شده است (۶). میزان دوپامین در خون رت‌ها در شرایط عادی در حد ۶/۰ ng/ml تخمین زده شده است (۲). گیرنده‌های دوپامین در سلول‌های پاسخ ایمنی ذاتی از قبیل سلول‌های مونوپسیت، دندریتیک، سلول‌های کشنده طبیعی، ماکروفائزها، مونوپسیت‌ها و نیز در سلول‌های پاسخ ایمنی اکتسابی وجود دارد (۲). دو زیرخانواده از دوپامین به نام‌های D1 و D2 شناسایی شده است؛ زیرخانواده D1 شامل رسپتورهای زیرگونه D1 و D5 است که باعث تشکیل چرخۀ AMP از طریق تحریک آدنیلات سیکلаз می‌شود و زیرخانواده D2 شامل تحت گونه D2، D3 و D4 است که چرخۀ آدنیلات سیکلاز را مهار می‌کند (۷).

مونوپسیت‌ها عضوی از گروه متنوع سلولی به نام لوکوپسیت‌ها هستند. مونوبلاست‌ها و پرمونوپسیت‌ها

استحصالی از هر حیوان با غلظت‌های صفر و غلظت 5×10^{-7} مولار از دوپامین به مدت ۲۴ ساعت در انکوباتور ۳۷ درجه سانتی‌گراد قرار داده و کشت شدند. همان‌طور که ذکر گردید، میزان دوپامین بر اساس غلظت دوپامین در شرایط استرس در محل‌های تحت آسیب بافتی انتخاب شده است. (۱۰، ۱۱). آنگاه بهمنظور حذف دوپامین باقی‌مانده، سلول‌ها چند بار با محیط کشت RPMI-1640 شسته شدند.

آزمون احیای MTT: در هر خانه از پلیت ۹۶ خانه ته‌تخت، مقدار ۱۰۰ میکرولیتر از سلول مونوسيت (cell/ml) به آرامی 106×1 در دو گروه تیمارشده و تیمارشده منتقل گردید؛ سپس ۲۵ میکرولیتر از محلول MTT (پنج میلی‌گرم در میلی‌لیتر) به هر چاهک اضافه شد و به مدت چهار ساعت در انکوباتور قرار گرفت؛ سپس به هر خانه مقدار ۱۰۰ میکرولیتر DMSO افزوده و توسط دستگاه الایزانگار در طول موج ۴۹۲ نتیجه کار قرائت گردید. (۱۳).

آزمون برداشت نوتراال رد: حجم برابر از سوسپانسیون مونوسيت (106×1 cell/ml) و محلول نوتراال رد (۰/۳۳ درصد) به مدت دو ساعت در انکوباتور قرار گرفت. پس از دو بار سانتریفیوژ سلول‌ها (۲۰۰۰ rpm به مدت ده دقیقه) بهمنظور حذف رنگ‌های نوتراال رد برداشت شدند، هم حجم مقدار اولیه اسید استیک ۱ درصد در الكل ۵۰ درصد (یک گرم اسید استیک در ۵۰ میلی‌لیتر اتانول و ۵۰ میلی‌لیتر آب مقطر) به آن‌ها اضافه شد تا رنگ‌های اندوسیتوز شده آزاد گردند. مقدار ۲۰۰ میکرولیتر از محلول حاصل از لیز سلول‌ها در هر چاهک از میکرولیت ۹۶ خانه ته‌تخت ریخته و توسط دستگاه الایزانگار در طول موج ۴۹۲ نتیجه کار خوانده شد. (۱۴)

ارزیابی قابلیت انفجار تنفسی سلول‌های مونوسيت: نیم میلی‌لیتر از سوسپانسیون مونوسيت (106×1 cell/ml) و نیم میلی‌لیتر سوسپانسیون مخمر اپسونیزه (5×106 cell/ml) بهاضافه نیم میلی‌لیتر محلول ۱/۰ NBT درصد به مدت ۳۰ دقیقه در ۳۷ درجه سانتی‌گراد انکوبه گردیدند. پس از پایان انکوباسیون، سلول‌ها در ۲۰۰۰ rpm به مدت ده دقیقه سانتریفیوژ شدند. پس از برداشت مایع رویی (حاوی مخمر

جداسازی مونوسيت‌ها از خون محیطی هر رت، به انجام همه آزمایش‌های زیر در حضور دوپامین (5×10^{-7} مولار) و یا حضور نداشتن دوپامین پس از انکوباسیون ۲۴ ساعته مونوسيت‌ها اقدام گردید. به این منظور، از هر رت سه بار به فاصله دو هفته خون‌گیری به عمل آمد. میزان دوپامین بر اساس غلظت دوپامین در شرایط استرس در محل‌های تحت آسیب بافتی انتخاب شده است. (۱۰، ۱۱).

جداسازی مونوسيت‌ها: ابتدا ۳ میلی‌لیتر خون هپارینه از رت‌ها اخذ گردید و با ۳ میلی‌لیتر محیط کشت-RPMI-1640 به آرامی فالکون مخلوط شد؛ سپس خون ریقیشده حاصل را به آرامی و با پیپت پاستور بر روی فایکول (در حجم خون اولیه ریقیشده) قرار گرفت. پس از آن، نمونه در rpm 2500 به مدت ۲۰ دقیقه سانتریفیوژ گردید؛ سپس سلول‌های تک‌هسته‌ای خون محیطی (PBMC) که در حد فاصل فایکول و خون ریقیشده به صورت لایه‌ای ابری جمع شده بودند، به آرامی و با حرکت دورانی سمپلر برداشته شد. بهمنظور حذف بقاوی‌ای فایکول، تقریباً یک‌و نیم برابر مقدار لایه RPMI-1640 برداشت شده توسط سمپلر با محیط کشت در مخلوط و با سرعت ۲۰۰۰ rpm در ده دقیقه سانتریفیوژ شد. در ادامه و برای حذف پلاکت‌ها، سلول‌های حاصل با سرعت rpm 1000 به مدت ۱۰ دقیقه سانتریفیوژ گردیدند. سلول‌های استحصال شده با یک میلی‌لیتر محیط کشت RPMI-1640 به حالت سوسپانسیون درآمدند.

برای خالص‌سازی سلول‌های مونوسيت از لنفوسيت‌های همراه، از خاصیت چسبندگی مونوسيت‌ها به سطوح پلاستیکی استفاده شد. بهمنظور بررسی بیان ژن، سلول‌ها در پلیت‌های شش‌خانه و برای آزمایش‌ها ایمونولوژیک، سلول‌ها به پلیت‌های ۲۴ خانه منتقل گردیدند و پس از گذشت دو ساعت، محلول رویی دور ریخته و سلول‌های مونوسيت چسبیده به کف پلیت با استفاده از ترکیب لیدوکائین (۴ mg/ml) و ۱۰ EDTA میلی‌مولار جدا شد. شمارش سلول‌ها به روش متداول تریپیان بلو صورت گرفت. (۹، ۱۲).

تیمار مونوسيت‌ها با دوپامین: مونوسيت‌های

از پلیت ۹۶ خانه ته تخت اضافه شد. ۲۰ میکرولیتر از محلول MTT (پنج میلی گرم در میلی لیتر محلول PBS) به هر چاهک افزوده گردید و به مدت ۳۰ دققه انکوبه شدند؛ سپس با افزودن ۱۵۰ میکرولیتر DMSO کریستال‌های فورمازان حل گردید و نتیجه در طول موج ۴۹۲ نانومتر خوانده شد. درصد باکتری کشی از رابطه شماره ۱ به دست آمد (۱۵):

$$\text{KILLING\%} = \frac{100 - (\text{ODT90})}{\text{ODT}} \quad (1)$$

به منظور تعیین درصد فاگوسیتوز با استفاده از سانتریفیوژ تفریقی (مدت ده دقیقه در ۱۵۰g در چهار درجه سانتی گراد)، باکتری‌های فاگوسیت نشده پس از ۹۰ دقیقه انکوباسیون جدا گردید و تعداد آن‌ها به شیوه افرون ۲۰ میکرولیتر از محلول MTT (۵ میلی گرم در یک میلی لیتر PBS)، ۳۰ دقیقه انکوبه، افزودن ۱۵۰ میکرولیتر DMSO، حل شدن کریستال‌های فورمازان و خوانش نتیجه در طول موج ۴۹۲ نانومتر صورت گرفت. درصد فاگوسیتوز از رابطه شماره ۲ به دست آمد (۱۵):

$$\text{PHAGOCYTOSIS\%} = \frac{100 - (\text{ODT90-(E/G)})}{\text{ODT0}} \quad (2)$$

$$\text{G=ODC90/ODC0}$$

ارزیابی میزان بیان ژن NF-κB: به منظور استخراج RNA از سلول‌های مونوцит تیمارشده با دوپامین و RNA از سلول‌های تیمارشده با دوپامین از کیت استخراج سلول‌های تیمارشده با دوپامین از شرکت سیناکلون استفاده گردید (PR891620, SinaPure RNA, Iran NanoDropTM RT-PCR برای ژن NF-κB) با استفاده از جفت پرایمرهای اختصاصی ژن NF-κB انجام می‌شود. این پرایمرها توسط شرکت سیناکلون تهیه گردید و اندازه محصول RT-PCR حاصل از تکثیر و ردیف بازه‌های آن در جدول شماره ۱ آمده است.

برداشت نشده)، سه قطره متانول ۷۰ درصد به سلول‌ها افزوده و ده دقیقه صبر گردید تا الكل حذف شود؛ سپس مونوцит‌ها با بافر PBS به حجم ۱/۵ میلی لیتر رسانیده و به خوبی پیپتینگ شدند. در هر خانه پلیت ۹۶ خانه ته تخت، ۲۰۰ میکرولیتر از مونوцит‌ها افزوده گردید. اکتون به هر کدام از خانه‌ها ۱۰۰ میکرولیتر KOH دو مولار و ۲۰۰ میکرولیتر DMSO افزوده و با پیپتینگ مکرر سلول‌ها لیز شدند در طی این مرحله، فورمازان تشکیل شده درنتیجه احیای NBT به دنبال انفجار تنفسی ناشی از برداشت مخمر اپسونیزه به حالت محلول درخواهند آمد. درنهایت، دانسیتۀ نوری (OD) با دستگاه الایزا نگار در طول موج ۴۹۲nm خوانده شد (۱۴).

سنجرش میزان تولید نیتریک اکساید توسط مونوцит‌ها: به طور خلاصه، یک میلی لیتر سوسپانسیون مونوцит (۱۰۶×cell/ml) در بافر PBS با یک میلی لیتر مخمر کاندیدا آلبیکس (۵/۲×cell/ml) اپسونیزه شده به مدت ۳۰ دقیقه انکوبه گردید. پس از سانتریفیوژ سلول‌ها در ۳۰۰۰ دور در دقیقه به مدت ده دقیقه، محلول رویی برداشته و میزان تولید نیتریک اکساید در آن به شیوه گریس سنجدۀ شد (۱۳).

سنجرش عملکردهای فاگوسیتوز و میکروب‌کشی مونوцит‌ها: نیم میلی لیتر سوسپانسیون مونوцит (۱۰۶×cell/ml) با ۱۰۰ میکرولیتر سرم رت به مدت ۵ دقیقه به عنوان گروه آزمایش (T) انکوبه گردید؛ همچنین به عنوان گروه شاهد (C)، نیم میلی لیتر بافر PBS با ۱۰۰ میکرولیتر مخمر کاندیدا آلبیکس (۵×۱۰۶cell/ml) در بافر PBS به هر دو گروه به مدت ۵ دقیقه انکوبه شد. آنگاه ۱۰۰ میکرولیتر مخمر آزمایش و شاهد اضافه گردید. از هر دو لوله آزمایش و شاهد به میزان ۱۰ میکرولیتر در زمان‌های صفر و ۹۰ دقیقه نمونه برداری شد. به هر نمونه ده میلی لیتر آب مقدار با pH برابر با ۱۱ اضافه گردید و چندین بار عمل پیپتینگ صورت گرفت. از هر لوله ۵ بار نمونه‌های ۱۰۰ میکرولیتر برداشته و به هر خانه

جدول شماره ۱. دستور جستجوی پایگاه‌های اطلاعاتی

پرایمر	نوع پرایمر	طول محصول (bp)	توالی پرایمر ('-3')
NF-κB	رفت	۲۹۹	5'-CAGAGGGACAAACAGCAATGA-3'
	برگشت		5'-CCGTGTAAACCAAAGCCTA-3'
GAPDH	رفت	۵۳۲	5'-ACCACAGTCCATGCCATCAC-3'
	برگشت		5'-TCCACCACCCTGTTGCTGTA-3'

و تابش اشعه ماوراء بنفش باندها ظاهر شدند و با مقایسه موقعیت قطعه تکثیر شده با اندازه باندهای مربوط به نشانگر، اندازه محصول RT-PCR مشخص گردید و عکس برداری شد. برای Optical Analysis دانسیته باندهای حاصل از الکتروفورزیز از نرم افزار ImageJ 2x استفاده گردید.

سیکل حرارتی برای تکثیر ژنهای NF-κB و GAPDH، به عنوان کنترل داخلی، بر اساس کیت DiaStar™ OneStep RT-PCR Kit (DR61-K050,) در جدول شماره ۲ نشان داده شده است. Solgent, Korean محصولات RT-PCR بر روی ژل آگارز الکتروفورز Trans Illuminator گردیدند. در انتها با انتقال ژل به دستگاه استفاده گردیدند.

جدول شماره ۲. برنامه دمایی واکنش RT-PCR برای ژن NF-κB و GAPDH

مدت زمان	درجه حرارت - (درجه سانتی-گراد)	مراحل	چرخه
۳۰ دقیقه	۵۰	5X OneStep RT-PCR Buffer	۱
۱۵ دقیقه	۹۵	10mM dNTP mix	۱
۲۰ ثانیه	۹۵	Forward Primer Reverse Primer Template DNA	(NF-κB)۳۵ (GAPDH)۳۰
۴۰ ثانیه	۵۲		
۶۰ ثانیه	۷۲		
۵ دقیقه	۷۲	™5X Band Doctor	۱

زنده‌مانی و قابلیت حیاتی سلول‌های مونوکیت پس از تیمار با دوپامین بود. بر اساس نتایج این تحقیق به نظر نمی‌رسد که میزان زنده‌مانی و قابلیت حیاتی سلول‌های مونوکیت پس از مجاورت با دوپامین در حداقل غلظت فیزیولوژیک (غلظت ۱۰-۱۰ مولار) پس از گذشت ۲۴ ساعت تغییر معنی‌داری بیابد. شدت جذب نوری در گروه مونوکیت‌های شاهد $t=548/0.9$ و در مونوکیت‌های گروه تیمار $t=0.8/0.5$ بود که از نظر آماری اختلافی نداشتند (نمودار شماره ۱).

تجزیه و تحلیل آماری: همه داده‌ها به صورت میانگین ± انحراف معیار گزارش شد. داده‌ها با استفاده از روش آزمون t-student زوج شده در نرم افزار SPSS vol.21 تجزیه و تحلیل گردید. برای رسم نمودارها از نرم افزار اکسل ویراست ۲۰۱۶ استفاده شد.

یافته‌های پژوهش

تأثیر دوپامین بر قابلیت حیاتی مونوکیت‌ها: هدف از انجام آزمون احیای MTT در این پژوهش ارزیابی میزان



نمودار شماره ۱. نتایج ارزیابی قابلیت حیاتی سلول مونوپسیت‌ها (MO) پس از تیمار ۲۴ ساعته با دوپامین (5×10^{-7} مولار).

غشایی و قدرت اندوستیوز سلول‌های مونوپسیت در نظر گرفته می‌شود. شدت جذب نوری قرائت شده در آزمون برداشت نوترال رد در گروه مونوپسیت‌های شاهد $1/5 \pm 0/23$ و در مونوپسیت‌های گروه تیمار $14/39 \pm 0/01$ بود. بر اساس نمودار شماره ۲ به نظر می‌رسد که تیمار سلول‌های مونوپسیت با دوپامین به طوری معنی‌داری به کاهش قابلیت برداشت نوترال رد توسط سلول‌های مونوپسیت منجر شده است.

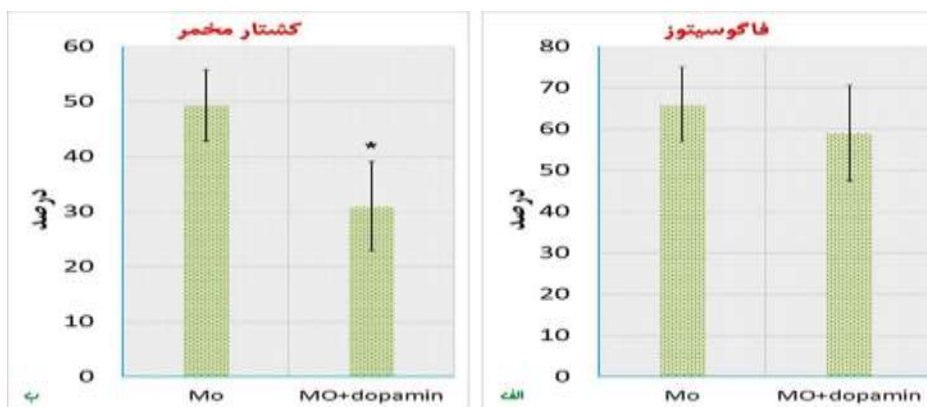
ارزیابی قابلیت اندوستیوز مونوپسیت‌ها به دنبال تیمار با دوپامین: قابلیت اندوستیوز، فاگوسیتیوز و تولید رادیکال‌های آزاد اکسیژن و نیتروژن پس از برداشت میکروب‌های اپسونیزه از جمله مهم‌ترین عملکردهای یک سلول مونوپسیت/ماکروفاز است. نوترال رد رنگی کاتیونی است که پس از برداشته شدن توسط مونوپسیت‌ها در بخش لیزوژومی تغییر می‌گردد. آزمایش نوترال رد به عنوان شاخصی از قابلیت



نمودار شماره ۲. نتایج ارزیابی برداشت نوترال رد توسط مونوپسیت‌ها (MO) پس از تیمار ۲۴ ساعته با دوپامین (5×10^{-7} مولار).*. نشانه اختلاف معنی‌دار در سطح $P < 0.05$.

در صد و در مونوپسیت‌های گروه تیمار $13/09 \pm 18/58$ درصد بود؛ با این حال، قابلیت نابودسازی یا کشن سلول‌های مخمر اپسونیزه توسط مونوپسیت‌ها مطابق نمودار ۳. ب کاهش یافت. در صد فاگوسیتیوز در گروه مونوپسیت‌های شاهد مطابق نمودار شماره ۳. الف مشخص است که میزان فاگوسیتیوز مخمر اپسونیزه توسط سلول‌های مونوپسیت پس از مجاورت با دوپامین تغییر معنی‌داری نیافه است. در صد فاگوسیتیوز در گروه مونوپسیت‌های شاهد $33/23 \pm 10/66$ درصد بود که از نظر آماری اختلاف معنی‌داری را نشان دادند.

بررسی قابلیت فاگوسیتیوز مونوپسیت‌ها به دنبال تیمار با دوپامین: پس از مواجهه با مخمر اپسونیزه، سلول‌های مونوپسیت با استفاده از گیرنده‌های اپسونیک خود اقدام به برداشت این عوامل می‌کنند و سپس آن‌ها را نابود می‌سازند. مطابق نمودار شماره ۳. الف مشخص است که میزان فاگوسیتیوز مخمر اپسونیزه توسط سلول‌های مونوپسیت پس از مجاورت با دوپامین تغییر معنی‌داری نیافه است. در صد فاگوسیتیوز در گروه مونوپسیت‌های شاهد $33/23 \pm 10/66$



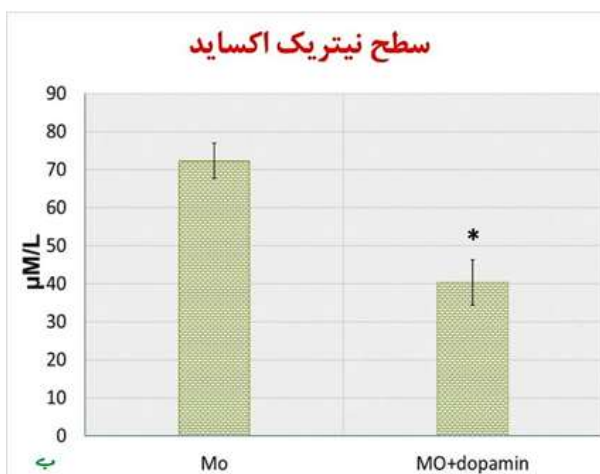
نمودار شماره ۳. ارزیابی میزان فاگوسیتوز (الف) و کشتن (ب) مخمر اپسونیزه توسط مونوцит‌ها (MO) پس از تیمار ۲۴ ساعته با دوپامین (7×10^{-5} مولار). * نشانه اختلاف معنی دار در سطح $P < 0.05$ نسبت به گروه مونوцит‌های تیمارنشده است.

رادیکال‌های آزاد اکسیژن شده است. میزان جذب نوری قرائت شده در گروه مونوцит‌های شاهد 13 ± 4.5 و در مونوцит‌های گروه تیمار 39 ± 24.0 بود که از نظر آماری اختلاف معنی داری را نشان دادند.

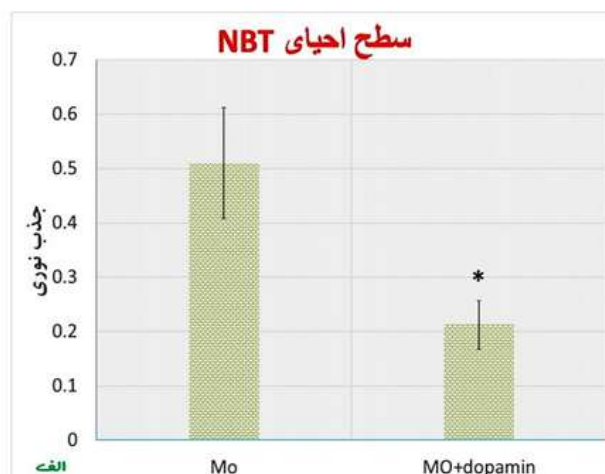
از آزمون گریس در این مطالعه به عنوان شاخصی برای ارزیابی قابلیت تولید رادیکال‌های آزاد نیتروژن توسط مونوцит‌ها استفاده شد. سطح نیتریک اکساید تولیدی در گروه مونوцит‌های شاهد 43.0 ± 7.2 میکرومول در لیتر و در مونوцит‌های گروه تیمار 48.0 ± 1.0 میکرومول در لیتر بود. بر اساس تعیین و تحلیل آماری مشخص گردید که تیمار دوپامینی سلول‌های مونوцит به کاهش معنی دار شدت تولید رادیکال‌های آزاد نیتروژن منجر شده است (نمودار شماره ۴).

).

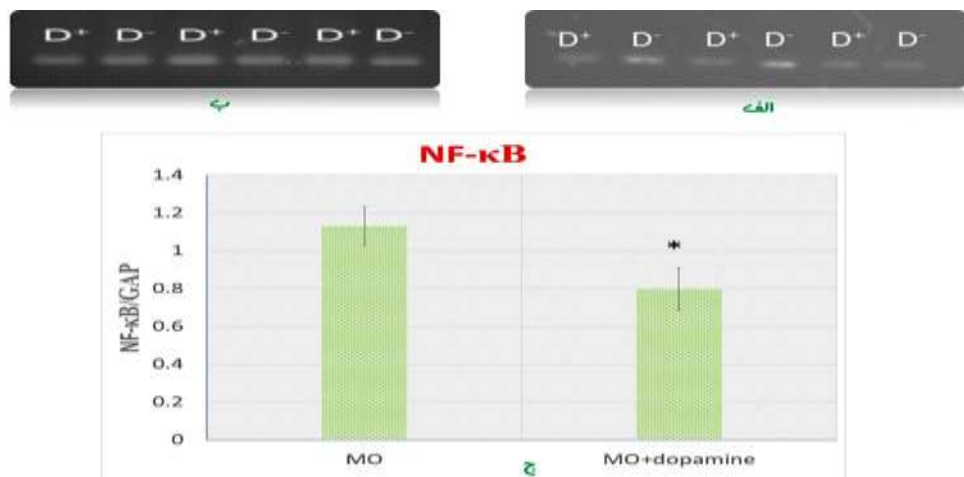
تأثیر تیمار دوپامین بر عملکردهای انفجار تنفسی و تولید نیتریک اکساید توسط مونوцит‌ها: سلول‌های فاگوسیت کننده پس از برداشت اجرام اپسونیزه، از طریق تولید رادیکال‌های آزاد اکسیژن و نیتروژن اقدام به نابودی میکروب‌ها می‌کنند. آزمون احیای NBT شاخصی از شدت انفجار تنفسی توسط سلول‌های مونوцит است. رنگ NBT پس از برداشته شدن توسط آئیون سوپراکسید در داخل فاگوزوم‌ها احیا می‌شود و تبدیل به کریستال‌های فورمازان می‌گردد. افزوده شدن DMSO و KOH به حل شدن کریستال‌های فورمازان منجر می‌شود که شدت آن متناسب با میزان تولید رادیکال‌های آزاد اکسیژن است. همان‌طور که در نمودار شماره ۴. الف مشخص است، تیمار دوپامین موجب کاهش قابلیت سلول‌های مونوцит در انفجار تنفسی و تولید



نمودار شماره ۴. ارزیابی شدت انفجار تنفسی (الف) و تولید نیتریک اکساید (ب) پس از برداشت مخمر اپسونیزه توسط مونوцит‌ها (MO) پس از تیمار ۲۴ ساعته با دوپامین (7×10^{-5} مولار). * نشانه اختلاف معنی دار در سطح $P < 0.05$ نسبت به گروه مونوцит‌های تیمارنشده است.



و در مونوسيت‌های گروه تیمار $11/69 \pm 0.06$ بود. تجزیه و تحلیل آماری نتایج Real-Time PCR نشان داد که تیمار با دوپامین در حداکثر غلظت فیزیولوژیک به مدت ۲۴ ساعت، به کاهش معنی‌دار بیان NF- κ B در مونوسيت‌ها منجر شده است (نمودار شماره ۵).



نمودار شماره ۵. ارزیابی میزان بیان NF- κ B توسط مونوسيت‌ها (MO) پس از تیمار ۲۴ ساعته با دوپامین (5×10^{-7} مولار). محصولات-PCR حاصل از رنگآمیزی DNA Safe Stain. نمونه‌های تیمارشده و تیمارنشده، GAPDH، تصویر الف و NF- κ B، تصویر بارگذاری شده در ژل یکسان، تحت شرایط برابر بررسی و با یکدیگر مقایسه شدند و تصاویر تجزیه و تحلیل گردید. نتایج آن نیز در تصویر ج نشان داده شده است.* نشانه اختلاف معنی‌دار در سطح $P < 0.05$ نسبت به گروه مونوسيت‌های تیمارنشده است.

در این مطالعه سعی شده است که به بررسی آثار دوپامینی بر عملکردهای پایه و فیزیولوژیک سلول‌های مونوسيت در شرایط غلظت حداکثری دوپامین پرداخته شود که در شرایط فیزیولوژیک گزارش شده است.
بر اساس مطالعات مک‌کینا و همکاران، مونوسيت‌های انسان حاوی غلظت بالایی از گیرنده‌های دوپامینی D2R و D3R در مقایسه با گیرنده‌های دوپامینی D4R و D5R است (۱۱). درباره تأثیر دوپامین بر مونوسيت‌ها گزارش‌های اندکی وجود دارد. مونوسيت‌های CD14+ ساکن در خون محیطی تنها گیرنده دوپامینی DRD4 را یافته‌اند (۱۹)، همچنین مونوسيت‌های CD14+ خون محیطی انسان و رده سلولی U937 (پری‌مونوسيت‌ها) حاوی دوپامین، اپی‌نفرین و نوراپی‌نفرین داخل سلولی هستند. مونوسيت‌های CD14+ همچنین شامل تعدادی متابولیت‌ها از قبیل DHPG و MET هستند (۱۹)، با این حال، با مراجعه به منابع مختلف به نظر می‌رسد که بیشتر داده‌های موجود مربوط به

ارزیابی تیمار دوپامین بر بیان NF- κ B در مونوسيت‌ها: NF- κ B از مهم‌ترین عامل‌های نسخه‌برداری است که به دنبال برداشت اجرام اپسونیزه در سلول‌های فاگوسیت کننده فعال می‌شود. بر اساس یافته‌های این پژوهش، نسبت بیان NFkB/GAP در مونوسيت‌های شاهد $1/16 \pm 0.07$ نسبت بیان NFkB/GAP در مونوسيت‌های شاهد $1/16 \pm 0.07$.

بحث و نتیجه‌گیری

بر اساس یافته‌های کنونی، در عقده‌های لنفاوی پایانه‌های عصبی آدرنرژیک که در ارتباط با سلول‌های ایمنی قرار می‌گیرند، قادر به تولید دوپامین هستند. از سویی، نشان داده شده است که سلول‌های ایمنی از قبیل لنفوسيت‌های Treg برخی از لنفوسيت‌های B، DCs، نوتروفیل‌ها، مونوسيت‌ها و ماست‌سل‌ها در شرایط فیزیولوژیک قادر به تولید دوپامین هستند (۱۶). گزارش شده است که انتقال پیام توسط گیرنده‌های دوپامین با میل ترکیبی کم، از جمله DR1 و DR2، برای متوقف کردن فرایندهای التهابی سلول‌های ایمنی ذاتی و درنتیجه، تضعیف سلول‌های ایمنی ذاتی همراه هستند (۱۷). بر عکس، تحریک گیرنده‌های دوپامینی با میل ترکیبی بالا مانند DR3 و DR5 موجب تقویت التهاب و پاسخ ایمنی شده است (۱۸، ۱۹). بر اساس تحقیقات صورت گرفته، در شرایط فیزیولوژیک حداکثر غلظت دوپامینی که سلول‌های ایمنی با آن مجاور می‌شوند، در حد 5×10^{-7} مولار است (۱۰، ۱۱).

یک عامل اپسونیزه توسط یک سلول فاگوسیتیک از طریق گیرندهای متعددی از قبیل گیرنده اپسونیک و غیراپسونیک القا می‌گردد؛ بنابراین بهنظر می‌رسد، با وجود اینکه آزمایش نوتال رد که تا حدودی برای برخی از قابلیت‌های غشایی است، کاهش‌یافته است، سیگنانلهای حاصل از گیرندهای اپسونیک و غیراپسونیک بر این کاهش فعالیت غشایی در حضور دوپامین غلبه کرده و قابلیت فاگوسیتوz در حضور دوپامین تغییر معنی‌داری نیافته است. تحقیقات اخیر نیز حاکی از افزایش چشمگیر گیرندهای اپسونیک توسط ماکروفارژها در شرایط درون‌تنی یا برون‌تنی پس از تحریک آگونیست‌های دوپامینی بوده است (۲۲). گفتنی است، اپسونیزه شدن و برداشت (فاگوسیتوz) سریع در کنار مهار روند انفجار تنفسی یا تولید واسطه‌های نیتراتیو (نیتریک‌اکساید) راهکار اصلی عوامل موجود عفونت‌های داخلی سلولی مانند عامل سل است (۹).

پس از برداشت یک پاتوژن، تولید رادیکال‌های آزاد اکسیژن و نیتروژن لازمه حذف مؤثر آن است. بر اساس نتایج این پژوهش، تیمار دوپامینی به کاهش چشمگیر شدت تولید رادیکال‌های آزاد اکسیژن و نیتروژن در منوسيت‌ها منجر شده است. هر چند که تولید رادیکال‌های اکسیژن و نیتروژن برای حذف عامل پاتوژن لازم و مؤثر است، در صورتی که تولید این رادیکال‌ها به صورت لجام‌گسیخته و نابجا صورت گیرد، به ایجاد شرایط ایمونوپاتولوژیک و آسیب بافتی منجر می‌گردد (۱۳)؛ بنابراین، بهنظر می‌رسد که یکی از وظایف اصلی دوپامین در دستگاه ایمنی کاهش یا تعدیل تولید واسطه‌های بالقوه آسیب‌رسان اکسیژن و نیتروژن باشد. همسو با این امر، تحقیقات پیشین به خوبی نشان داده است که در شرایط بالینی نیز در تغییر سطح دوپامین بر وضعیت التهاب مؤثر است؛ به‌طور مثال، سطح دوپامین در افراد افسرده کاهش چشمگیری می‌یابد (۲). مطالعات گذشته به‌خوبی نشان داده است که شیوع بیماری خودالتهابی و خودایمنی که ممکن است ناشی از آسیب‌های رادیکال‌های آزاد اکسیژن و نیتروژن باشد، در افراد افسرده به‌طور قابل توجهی افزایش می‌یابد (۲۳)؛ همچنین در شرایط شوک از قبیل شوک آندوتوكسیک، استفاده از

تأثیر دوپامین بر روی سلول‌های ماکروفاز است. بر اساس مطالعات گذشته به‌نظر می‌رسد که دوپامین فوتیپ و عملکرد منوسيت‌ها/ماکروفازها را تنظیم می‌کند. در مطالعات *in vitro* بر روی ماکروفازهای جوجه نشان داده شده که غلظت بالای دوپامین (۵ $\mu\text{g/mL}$) سمی است، به‌طوری که ۵۳ درصد از سلول‌های تحت تیمار دچار مرگ شدن. انکویاسیون با دوپامین در غلظت‌های ۰/۱ و ۰/۵ میکروگرم بر میلی‌لیتر به مدت یک ساعت، فعالیت فاگوسیتی ماکروفازها را افزایش داده است؛ با این حال، اگر ماکروفازها به مدت ۳ ساعت در معرض همین غلظت‌های دوپامین باشند، فعالیت فاگوسیتی آن‌ها کاهش معنی‌داری خواهد یافت (۲۰). هاسکاو و همکاران نشان دادند، در ماکروفازهای *D2R* توسط آگونیست‌های (بروموکریپتین و کوئینپیروول)، ترشح نیتریک‌اکساید و α کاهش می‌یابد؛ همچنین تحریک گیرنده دوپامینی *D1R* در مقایسه با کترل، به کاهش تولید نیتریک‌اکساید توسط ماکروفازها منجر گردیده است (۲۱). گزارش شده است که بیان گیرندهای $\text{Fc}\gamma$ و کمپلمان در ماکروفازهای خوکجه هندی افزایش‌یافته است که به مدت هفت روز، تحت تیمار با آگونیست‌های دوپامینی (بروموکریپتین، لنوپرولید و پرگولید) یا آنتاگونیست‌های دوپامین (کلرپرمازین، SCH23390، متوكلوپرامید، سولپیرید، والپیرید، آلیزابرید و سیزابرید) بودند (۲۲).

نتایج ما نیز حاکی از کاهش برخی از فعالیت اصلی منوسيت‌ها پس از تیمار با دوپامین شامل قدرت اندوسيتوz، کشتار مخمر اپسونیزه، تولید رادیکال‌های آزاد اکسیژن و نیتروژن بود، درحالی که قابلیت فاگوسیتوz مخمر اپسونیزه توسط منوسيت‌ها پس از تیمار با دوپامین تغییر معنی‌داری نیافتد. فرایند حذف یک عامل پاتوژن توسط منوسيت شامل مراحل برداشت، به درون کشیده شدن (فاگوسیتوz)، تولید رادیکال‌های آزاد اکسیژن و نیتروژن، فعالیت آنزیم‌های لیزozومی و حذف سلول است. بر اساس نتایج به‌دست آمده، شدت فاگوسیتوz مخمر اپسونیزه میان دو گروه منوسيت‌های تیمارشده و بدون تیمار تفاوت معناداری را نشان نداد. برداشت

دوپامین فعال‌سازی NF- κ B به واسطه LPS و همچنین اتصال NF- κ B به پروموتور TNF- α به واسطه تحریک با LPS را مهار می‌کند؛ بنابراین، محققان نتیجه‌گیری کردند که دوپامین موجب مهار فعال شدن و جابه‌جا شدن NF- κ B از سیتوپلاسم به هسته سلول‌های مونوцит می‌شود (۵). نتایج ما نیز نشان داد که همسو با تغییر سطح فعالیت سلول‌های مونوцит در تولید واسطه‌های فعال اکسیژن و نیتروژن، تیمار دوپامینی به مدت ۲۴ ساعت در حداکثر غلظت فیزیولوژیک، به کاهش معنی‌دار بیان NF- κ B به عنوان یکی از عوامل اثرگذار در تولید واسطه‌های فعال اکسیژن و نیتروژن منجر می‌گردد.

تحقیقات گذشته نشان داده‌اند که دوپامین به وسیله اتصال به گیرنده‌های آثار ضدالتهابی دارد. به دنبال استفاده از رده سلولی J774.1 و یا استفاده از ماکروفاژهای صفاقی موش C57B1/6 که با LPS (ng/ml10) و دوپامین (μ M 01/0-100) تحریک شده بودند، آنان مشاهده کردند که بیان mRNA مربوط به IL-12 p40 و همچنین ترشح آن به صورت وابسته به غلظت کاهش یافت، در حالی که ترشح IL-10 افزایش یافته بود (۲۱). گزارش دیگری نشان داد که دوپامین ترشح سایتوکاین‌های ضدالتهابی در ماکروفاژهای نشست گرفته از مونوцит انسانی را با و یا بدون تحریک LPS تحریک می‌کند. ماکروفاژهای نشست گرفته از مونوцит انسانی فعال شده با LPS که با غلظت بالای دوپامین (μ M 20 و μ M 2) تحریک شده بودند، ترشح IL-10 را افزایش دادند، در حالی که ترشح TNF- α در آن‌ها کاهش یافت. در مقابل، غلظت پایین دوپامین (nM 20 و nM 200 به طور ناچیزی، تنها بر ترشح TNF- α و تنظیم مثبت IL-10 تأثیر می‌گذارد) (۲۷).

در آزمایش MTT قابلیت‌های حیاتی سلول‌ها سنجیده می‌شود. ماده MTT پس از برداشته شدن توسط سلول‌های فاگوسیت کننده به دنبال رخداد فرایند تنفس سلولی در میتوکندری‌ها تبدیل به کریستال‌های فورمازان می‌گردد (۱۳)؛ بنابراین، هرچقدر که سطح فعالیت متabolیک سلول‌ها افزایش یابد، میزان احیای MTT به کریستال‌های فورمازان افزایش خواهد یافت. با توجه به نتایج به دست آمده در این

آنالوگ‌های دوپامین به عنوان بخشی از برنامه حفظ فشارخون مرسوم است. در ابتدا، تنها فایده این آنالوگ‌ها را افزایش خونرسانی به ارگان‌های حیاتی ذکر می‌کردند؛ اما امروزه مشخص شده است که لاقل بخشی از فواید این داروها در شرایط شوک به علت مهار التهاب و کاهش کمتوکسی سلول‌های ایمنی است (۲۴). از سویی، نتایج مطالعه‌های نشان داد که در کنار کاهش قابلیت تولید رادیکال‌های آزاد، میزان کشتار مخمر نیز کاهش می‌یابد؛ بنابراین می‌توان حدس زد در شرایطی که احتمال افزایش بیش از حد سطح دوپامین وجود دارد (از قبیل شرایط افراد مجنون)، ممکن است به تشدید عفونت و خطرات ناشی از آن منجر گردد. هرچند تاکنون تحقیق خاص و یا گزارشی درباره تأثیر افزایش سطح دوپامین بر روی احتمال تشدید بیماری‌های عفونی صورت نگرفته است؛ با این حال، بر اساس نتایج، این فرضیه مطرح می‌گردد که در حین استفاده از آگونیست‌های دوپامین در شرایط بهویژه شوک عفونی، دقت بیشتری به عمل آید؛ زیرا که ممکن است استفاده از دوپامین به تشدید عفونت به علت مهار قابلیت‌های دستگاه ایمنی در حذف عامل عفونی منجر گردد، هرچند این مسئله تنها در حد فرضیه است و لازم است تحقیقات بیشتر صورت گیرد.

NF- κ B پروتئین هترودایمری است که در سیتوپلاسم سلول‌های در حال استراحت به صورت کمپلکس با پروتئین مهاری IKB حضور دارد (۲۵، ۲۶). پس از فعال شدن مسیرهای پیام‌رسانی به علت تحریک مونوцит‌ها با اجزای عوامل عفونی، IKB جدا شده و NF- κ B آزاد شده به هسته سلول منتقل می‌شود. در هسته، این عامل نقش بسیار مهمی در القای تولید سایتوکاین‌ها و کموکاین‌های التهابی و همچنین تولید واسطه‌های فعال اکسیژن و نیتروژن بازی می‌کند. به‌سبب نقش گسترده این عامل در فعالیت دستگاه ایمنی به عنوان واسطه مرکزی پاسخ‌های ایمنی نامیده شده است (۲۶). در یک تحقیق جالب، به میزان تغییر اتصال NF- κ B به DNA در مونوцит‌های استحصالی از خون محیطی انسان و یا رده‌های LPS (ng/ml10) مونوцит انسان اشاره شده است که با (۲۷) در فعال گردیده بودند. بر اساس نتایج آنان مشخص شده است که

نوع ماکروفاژ هستند. در کنار ریز محیط بافتی که مونوپلیت‌ها به آن وارد شده‌اند، وضعیت خود مونوپلیت‌ها پیش از ورود به بافت نیز بر نوع فتوتیپ مؤثر است که پس از تبدیل به ماکروفاژ پیدا می‌کنند. این فتوتیپ‌ها از لحاظ سایتوکاین‌ها، کموکاین‌ها، گیرنده‌های لیگاند و عملکرد با یکدیگر متفاوت‌اند. ماکروفاژهای کلاسیک یا M1 گروهی از متفاوت‌اند. ماکروفاژهای ضد میکروبی و التهابی قوی هستند که در پاتوژن‌بیماری‌های التهابی و خودایمن نقش فعالی را بازی می‌کنند (۲۹). ماکروفاژهای M2 یا ماکروفاژهای فعال شده از مسیر آلترناتیو (جایگزین) به میزان کمتری از سایتوکاین‌ها التهابی را نسبت به ماکروفاژهای M1 تولید می‌کنند و در مقابل، نقش مهمی را در بازسازی و ترمیم آسیب‌های بافتی ایجاد می‌نمایند. این سلول‌ها نسبت به ماکروفاژهای M1 قابلیت میکروب‌کشی به مراتب کمتری دارند (۲۹). بر اساس نتایج تحقیق ما به نظر می‌رسد که دوپامین به علت کاهش میزان تولید رادیکال‌های آزاد اکسیژن و نیتروژن و همچین کاهش قابلیت کشتار، احتمالاً سلول‌های مونوپلیت را به سوی فتوتیپ ضدالتهابی با قابلیت تبدیل به ماکروفاژهای M2 برنامه‌ریزی می‌کند. در هر حال، این مسئله نیازمند مطالعات بیشتر است.

البته ذکر این نکته اساسی است که تغییر نکردن میزان فعالیت زیستی که در این تحقیق در رابطه با مونوپلیت‌های تیمارشده با دوپامین دیده شد، حاکمی از القای پویای یک فتوتیپ ضدالتهابی و نه مهار ساده فعالیت این سلول‌ها توسط دوپامین است؛ همچنین تغییر نکردن قابلیت فاگوسیتوز در کنار کاهش تولید رادیکال‌های آزاد در سلول‌های مونوپلیت تیمارشده با دوپامین نسبت به گروه شاهد نیز، تأییدی بر تغییر در برنامه‌ریزی و پلاریزه شدن سلول‌های مونوپلیت‌ها پس از مجاورت با دوپامین است.

در کل به نظر می‌رسد که دوپامین به طور پویا موجب ایجاد یک رخنمود ضدالتهابی در سلول‌های مونوپلیت می‌گردد، به طوری که این مونوپلیت‌ها در کنار کاهش فعالیت بخش لیزوژومی، میزان کمتری از رادیکال‌های آزاد اکسیژن و نیتروژن را تولید می‌کنند. این مسئله، یعنی کاهش تولید رادیکال‌های آزاد اکسیژن، در شرایط ایمونوپاتولوژیک از

تحقیق به نظر می‌رسد، تیمار با دوپامین برخی از عملکردهای فیزیولوژیک مونوپلیت‌ها را کاهش می‌دهد؛ اما این کاهش‌ها با توجه به تغییر نکردن قدرت حیاتی سلول‌های مونوپلیت به دنبال تیمار دوپامین، مربوط به یک فعالیت مهار کننده کلی یا ساده نیست، بلکه با توجه به تغییر نکردن معنی دار شدت احیای MTT به کریستال‌های فورمازان می‌توان نتیجه‌گیری کرد که دوپامین عمدتاً باعث تغییر برنامه‌ریزی و نه مهار سلول‌های مونوپلیت می‌گردد.

رنگ نوترال رد رنگی کاتیونی است که به صورت غیر اپسونیک توسط سلول‌های فاگوسیتوز کننده اندوسیتوز می‌شود. رنگ نوترال رد پس از برداشته شدن در بخش لیزوژومی سلول‌های فاگوسیتوز کننده تغییر می‌گردد، به طوری که میزان برداشت نوترال رد به برخی از عملکردهای سلولی از جمله قابلیت‌های غشایی، یکپارچگی غشایی و فعالیت بخش لیزوژومی بستگی دارد (۱۴). البته مطابق نتایج ما به نظر می‌رسد که تیمار با دوپامین به کاهش برداشته شدن و تغییر نوترال رد در لیزوژوم سلول‌های مونوپلیت منجر شده است؛ با این حال، بر اساس آزمایش MTT به نظر نمی‌رسد که قدرت حیاتی سلول‌ها تغییر معنی داری یافته باشد؛ بنابراین، کاهش برداشت نوترال رد در نتایج ما عمدتاً مرتبط با تغییر قابلیت‌های غشایی و همچنین تغییر فعالیت بخش لیزوژومی مونوپلیت‌ها خواهد بود. همسو با آن، نتایج آزمایش مخمر کشی پژوهش حاضر نیز حاکمی از کاهش میزان کشتار مخمرها پس به دنبال تیمار با دوپامین بود. حذف یک پاتوژن نیازمند عوامل لیزوژومی و همچنین تولید رادیکال‌های آزاد اکسیژن و نیتروژن است که نتایج ما حاکمی از کاهش سطح تولید رادیکال‌های آزاد اکسیژن و نیتروژن در کنار کاهش فعالیت بخش لیزوژومی بود.

بر اساس دانسته‌های کنونی به نظر می‌رسد که سلول‌های مونوپلیت پس از مهاجرت آن‌ها به بافت (ماکروفاژها و سلول‌های دندرتیک)، بر اساس ریز محیط اطرافی چندین فتوتیپ مختلف را پیدا می‌کنند (۲۸، ۲۹)؛ به طور مثال، نشان داده شده است که مونوپلیت‌ها پس از مهاجرت به بافت، بسته به شرایط، قادر به تبدیل به حداقل دو

قبل بیماری‌های خودایمن امر مطلوبی به شمار می‌آید. البته کاهش تولید رادیکال‌های آزاد اکسیژن و نیتروژن و همچنین کاهش عملکرد لیزوژومی در شرایط بیماری‌های عفونی ممکن است به گسترش عفونت کمک کند. همسو با این مطلب، نتایج ما حاکی از کاهش قابلیت مخمرکشی سلول‌های مونوцит استحصالی از رت‌های تحت تیمار با دوپامین در مقایسه با رت‌های شاهد بود؛ بنابراین، لازم است که در حین استفاده از آگونیست‌ها و یا آنتاگونیست‌های دوپامینی در بیماران مختلف به این مسائل نیز توجه شود.

تعارض منافع

نویسنده‌گان مقاله اعلام می‌نمایند که هیچ‌گونه تعارض منافع وجود ندارد.

کد اخلاق

همه مراحل این تحقیق در کمیته اخلاق پژوهش دانشکده دامپزشکی دانشگاه ارومیه با کد-IR-UU-AEC-3-1530-DA تصویب شده است.

حمایت مالی

از این پژوهش توسط معاونت پژوهشی دانشگاه ارومیه، حمایت مالی به عمل آمده است.

مشارکت نویسنده‌گان

دکتر سید میثم ابطحی فروشانی طرح اولیه مطالعه را مطرح و راهنمایی آن را بر عهده داشتند، اجرای مطالعه و نوشتمن متن اولیه مقاله توسط خانم دکتر هانیه نیک خواه، آنالیزهای آماری توسط دکتر سید میثم ابطحی فروشانی و مشاوره علمی و کمک به انجام بهتر این طرح توسط آقای دکتر دستمالچی ساعی و خانم دکتر ناهیده افضل آهنگران انجام شد. متن نهایی با همکاری همه محققین تهیه شد.

References

1. Jahangiri S, Abtahi Froushani SM, Delirezh N. Combination immunotherapy with extract of heated 4T1 and naloxone in mouse model of breast cancer. *Turk J Med Sci* 2016;46:518-23. doi: 10.3906/sag-1410-61.
2. Mohammadi A, Abtahi Froushani SM, Delirezh N, Ownagh A. Alum and metoclopramide synergistically enhance cellular and humoral immunity after immunization with heat-killed *Salmonella typhimurium* vaccine. *Int Immunopharmacol* 2021; 101:108185. doi: 10.1016/j.intimp.2021.108185.
3. Arias-Carrión O, Stamelou M, Murillo-Rodríguez E, Menéndez-González M, Pöppel E. Dopaminergic reward system: a short integrative review. *Int Arch Med* 2010; 3:24. doi: 10.1186/1755-7682-3-24.
4. Franco R, Reyes-Resina I, Navarro G. Dopamine in Health and Disease: Much More Than a Neurotransmitter. *Biomedicines* 2021;9:109. doi: 10.3390/biomedicines9020109.
5. Arreola R, Alvarez-Herrera S, Pérez-Sánchez G, Becerril-Villanueva E, Cruz-Fuentes C, Flores-Gutierrez EO, et al. Immunomodulatory Effects Mediated by Dopamine. *J Immunol Res* 2016; 2016:3160486. doi: 10.1155/2016/3160486.
6. Papa I, Saliba D, Ponzoni M, Bustamante S, Canete PF, Gonzalez-Figueroa P, et al. T(FH)-derived dopamine accelerates productive synapses in germinal centres. *Nature* 2017;547:318-23. doi: 10.1038/nature23013.
7. Nourmohammadi K, Babaei-Balderlou F, Abtahi-Froushani SM. Dopamine D2 Receptor Antagonist Alters the Testosterone Release and Kisspeptin/GPR54 Signaling in Food-Restricted Rats. *Iran J Sci Technol Trans Sci* 2021;45:1879-86. doi:10.1007/s40995-021-01196-z.
8. Ehrchen JM, Roth J, Barczyk-Kahlert K. More Than Suppression: Glucocorticoid Action on Monocytes and Macrophages. *Front Immunol* 2019; 10:2028. doi: 10.3389/fimmu.2019.02028.
9. Esmaili Gourvarchin Galeh H, Meysam Abtahi Froushani S, Afzale Ahangaran N, Hadai SN. Effects of Educated Monocytes with Xenogeneic Mesenchymal Stem Cell-Derived Conditioned Medium in a Mouse Model of Chronic Asthma. *Immunol Invest* 2018;47:504-20. doi: 10.1080/08820139.2018.
10. Torres KC, Antonelli LR, Souza AL, Teixeira MM, Dutra WO, Gollob KJ. Norepinephrine, dopamine and dexamethasone modulate discrete leukocyte subpopulations and cytokine profiles from human PBMC. *J Neuroimmunol* 2005;166:144-57. doi: 10.1016/j.jneuroim.2005.06.006.
11. McKenna F, McLaughlin PJ, Lewis BJ, Sibbring GC, Cummerson JA, Bowen-Jones D, et al. Dopamine receptor expression on human T- and B-lymphocytes, monocytes, neutrophils, eosinophils and NK cells: a flow cytometric study. *J Neuroimmunol* 2002;132:34-40. doi: 10.1016/s0165-5728(02)00280-1.
12. Scriba A, Luciano L, Steiniger B. High-yield purification of rat monocytes by combined density gradient and immunomagnetic separation. *J Immunol Methods* 1996;189:203-16. doi: 10.1016/0022-1759(95)00248-0.
13. Abtahi Froushani SM, Abbasi A. Conditioned Medium of Mesenchymal Stem Cells Pulsed with Theobromine Can Instruct Anti-Inflammatory Neutrophils. *Zahedan J Res Med Sci* 2020;22:e86967. doi:10.5812/zjrms.86967.
14. Shushtari N, Abtahi Froushani SM. Caffeine Augments the Instruction of Anti-Inflammatory Macrophages by The Conditioned Medium of Mesenchymal Stem Cells. *Cell J* 2017;19:415-24. doi: 10.22074/cellj.2017.4364.
15. Fijalkowski K, Czernomys-Furowicz D, Irwin JA, Nawrotek P, Pobuciewicz A. Secretory virulence factors produced by *Staphylococcus aureus* isolates obtained from mastitic bovine milk--effect on bovine polymorphonuclear neutrophils. *Res Vet Sci* 2012;93:82-7. doi: 10.1016/j.rvsc.2011.08.017.
16. Pacheco R, Riquelme E, Kalergis AM. Emerging evidence for the role of neurotransmitters in the modulation of T cell responses to cognate ligands. *Cent Nerv Syst Agents Med Chem* 2010;10:65-83. doi: 10.2174/187152410790780154.
17. Pacheco R. Targeting dopamine receptor D3 signalling in inflammation. *Oncotarget* 2017;8:7224-5. doi: 10.18632/oncotarget.14601.
18. Contreras F, Prado C, González H, Franz D, Osorio-Barrios F, Osorio F, et al. Dopamine Receptor D3 Signaling on CD4+ T Cells Favors Th1- and Th17-Mediated Immunity. *J Immunol* 2016;196:4143-9. doi: 10.4049/jimmunol.1502420.
19. Cosentino M, Bombelli R, Ferrari M, Marino F, Rasini E, Maestroni GJ, et al. HPLC-ED measurement of endogenous catecholamines in human immune cells and hematopoietic cell lines. *Life Sci* 2000;68:283-95. doi: 10.1016/s0024-3205(00)00937-1.
20. Arreola R, Alvarez-Herrera S, Pérez-Sánchez G, Becerril-Villanueva E, Cruz-Fuentes C,

- Flores-Gutierrez EO, et al. Immunomodulatory Effects Mediated by Dopamine. *J Immunol Res* 2016; 2016:3160486. doi: 10.1155/2016/3160486.
21. Haskó G, Szabó C, Németh ZH, Deitch EA. Dopamine suppresses IL-12 p40 production by lipopolysaccharide-stimulated macrophages via a β -adrenoceptor-mediated mechanism. *J Neuroimmunol* 2002;122:34-9. doi: 10.1016/s0165-5728(01)00459-3.
 22. Nolan RA, Muir R, Runner K, Haddad EK, Gaskill PJ. Role of Macrophage Dopamine Receptors in Mediating Cytokine Production: Implications for Neuroinflammation in the Context of HIV-Associated Neurocognitive Disorders. *J Neuroimmune Pharmacol* 2019;14:134-56. doi: 10.1007/s11481-018-9825-2.
 23. Dale RC, Merheb V, Pillai S, Wang D, Cantrill L, Murphy TK, et al. Antibodies to surface dopamine-2 receptor in autoimmune movement and psychiatric disorders. *Brain* 2012;135:3453-68. doi: 10.1093/brain/aws256.
 24. Beck G, Brinkkoetter P, Hanusch C, Schulte J, van Ackern K, van der Woude FJ, et al. Clinical review: immunomodulatory effects of dopamine in general inflammation. *Crit Care* 2004;8:485-91. doi: 10.1186/cc2879.
 25. Gilmore TD. Introduction to NF-kappaB: players, pathways, perspectives. *Oncogene* 2006;25:6680-4. doi: 10.1038/sj.onc.1209954.
 26. Albensi BC. What Is Nuclear Factor Kappa B (NF- κ B) Doing in and to the Mitochondrion? *Front Cell Dev Biol* 2019; 7:154. doi: 10.3389/fcell.2019.00154.
 27. Gaskill PJ, Carvallo L, Eugenin EA, Berman JW. Characterization and function of the human macrophage dopaminergic system: implications for CNS disease and drug abuse. *J Neuroinflammation* 2012; 9:203. doi: 10.1186/1742-2094-9-203.
 28. Cutolo M, Campitiello R, Gotelli E, Soldano S. The Role of M1/M2 Macrophage Polarization in Rheumatoid Arthritis Synovitis. *Front Immunol* 2022; 13:867260. doi: 10.3389/fimmu.2024.1394108.
 29. Bart VMT, Pickering RJ, Taylor PR, Ipseiz N. Macrophage reprogramming for therapy. *Immunology* 2021;163:128-44. doi: 10.1111/imm.13300.